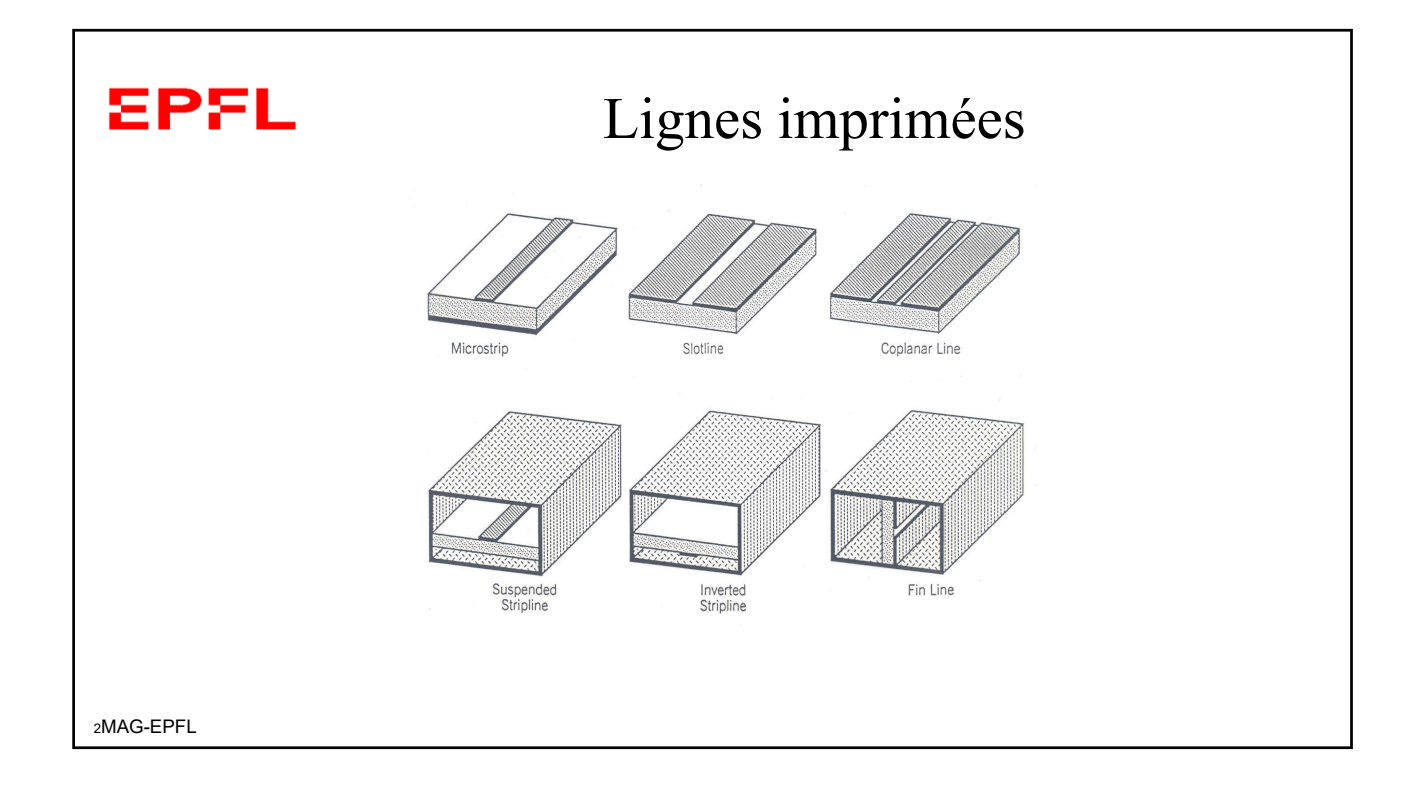
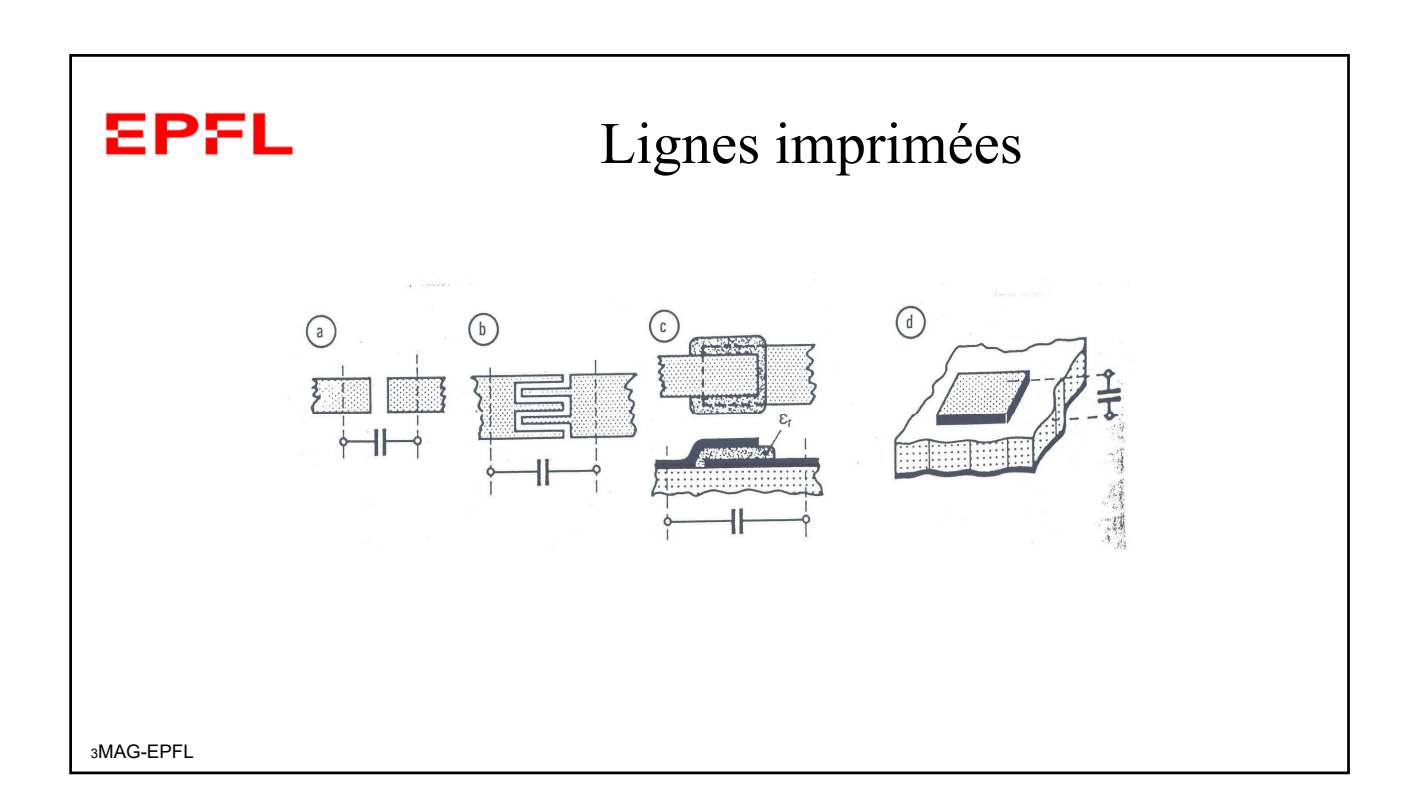
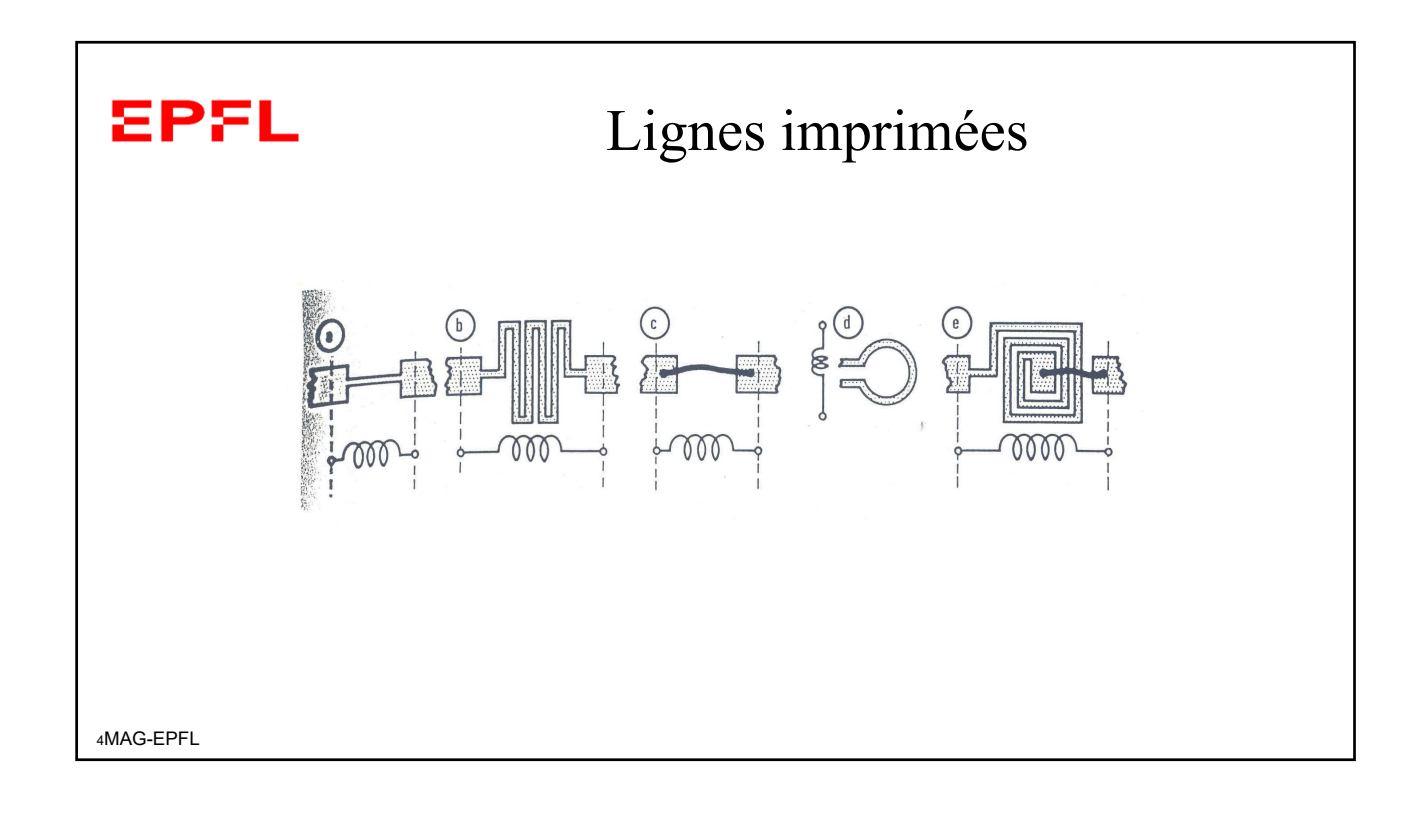


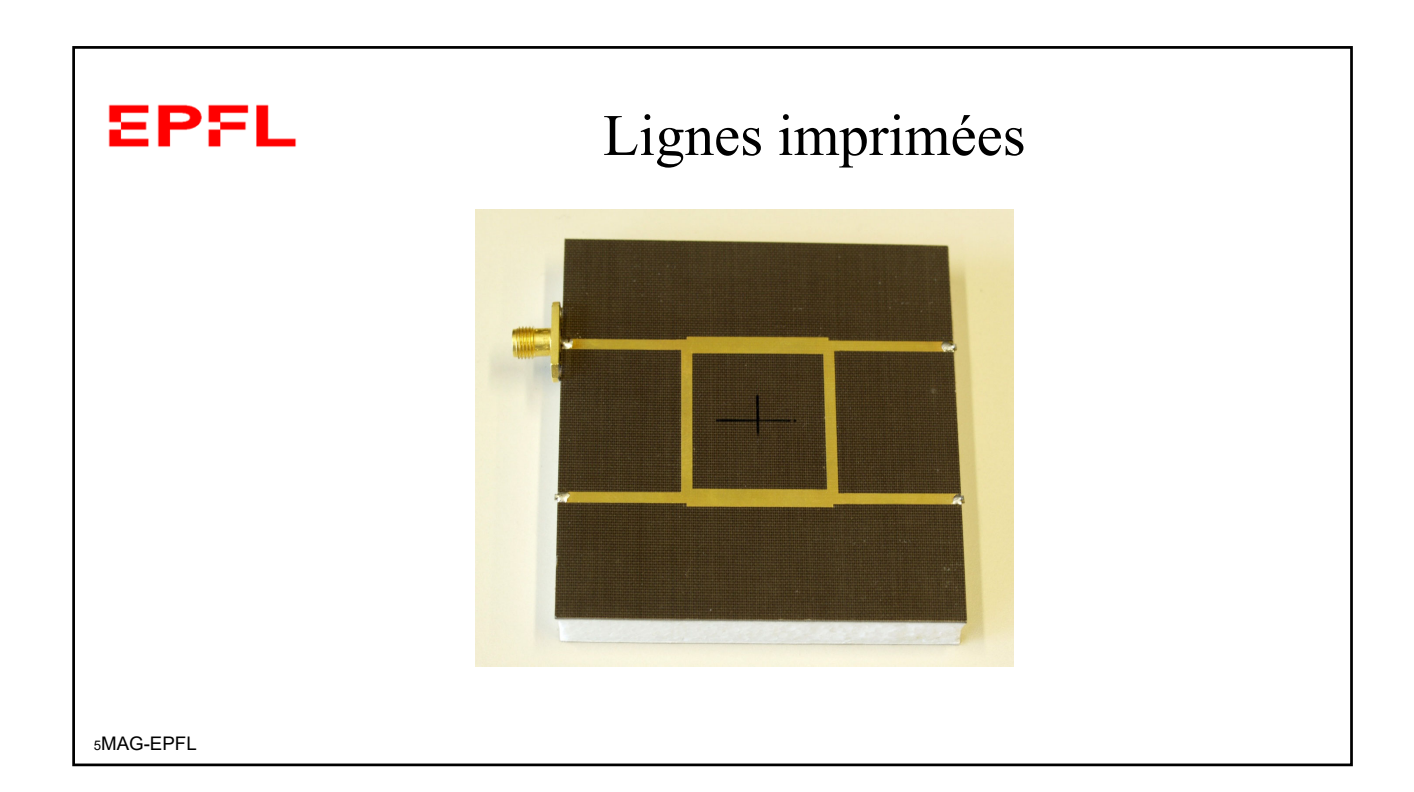
Lignes imprimées

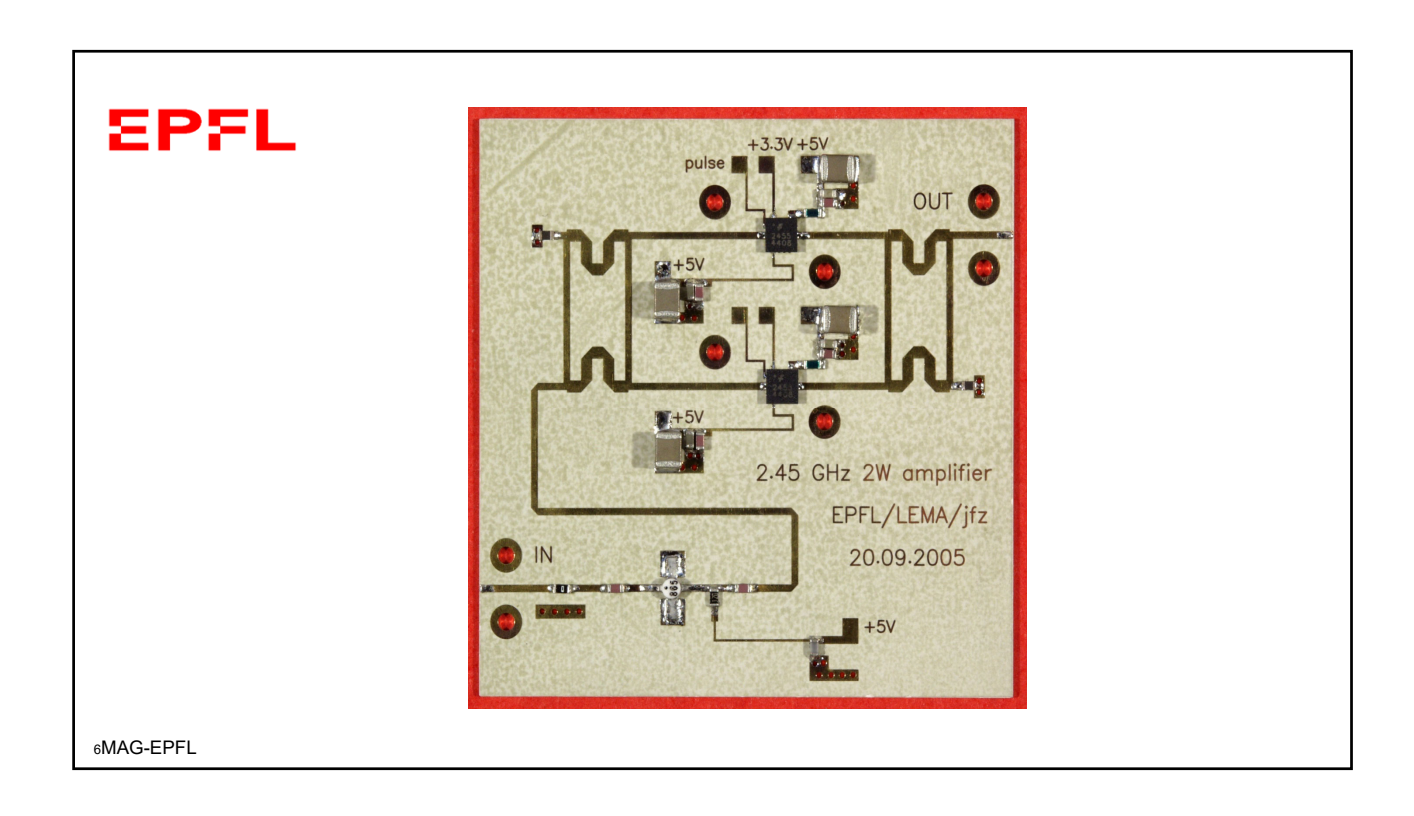
- Lignes microruban
- Lignes à fente
- striplines
- Guides d'onde coplanaires (CPW)





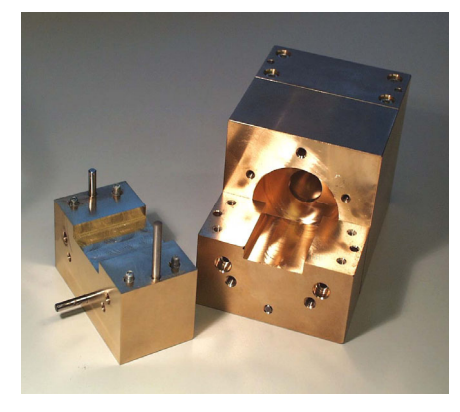




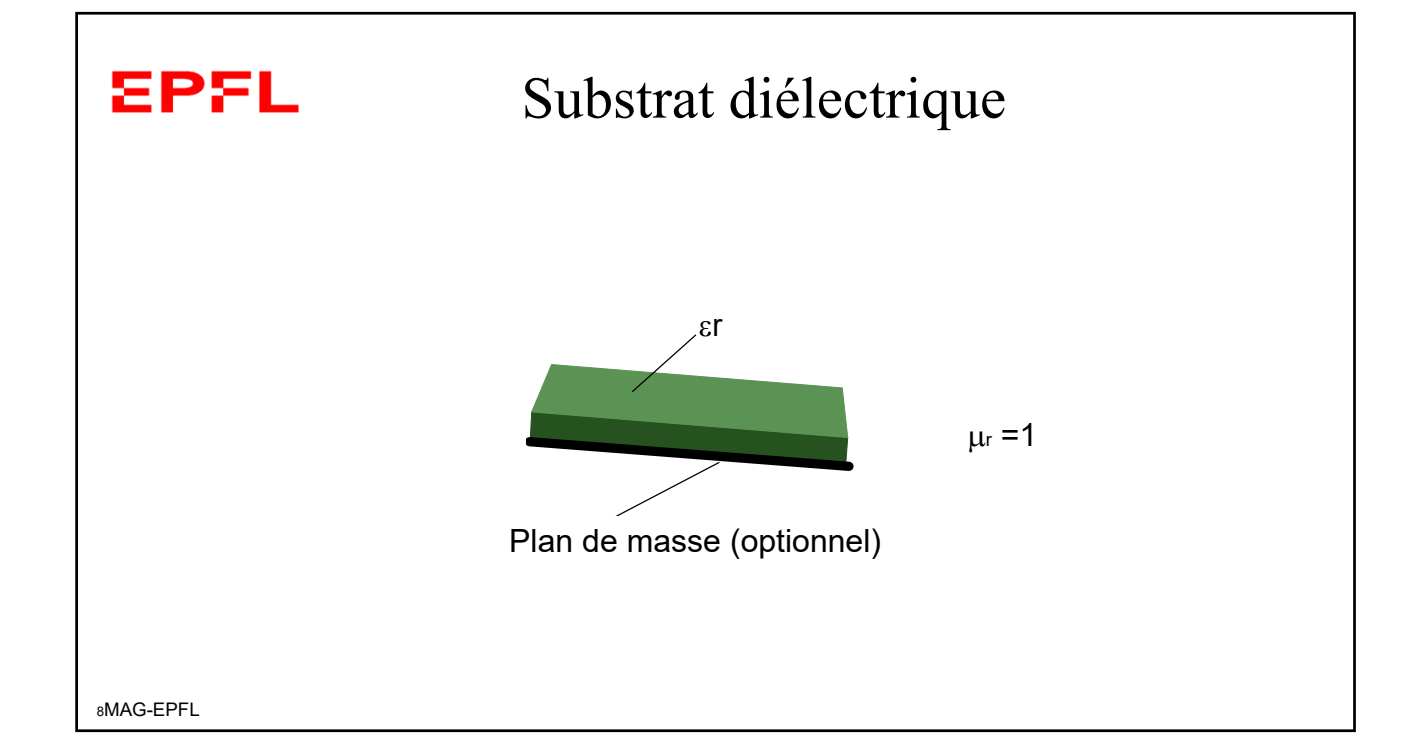




Lignes imprimées







EPFL Substrats usuels: céramiques

- Céramiques : Alumine (Al2O3) et oxydes de Béryllium (BeO)

9MAG-EPFL

EPFL

Substrats synthétiques

- Polystyrène, polyolfin, polyester, polytetrafluoretylène (Teflon)
 - $2 < \varepsilon_r < 3$ tan δ autour de 5 10^{-4}
- Matériaux synthétiques chargés avec de la poudre de céramique ou des fibres de verre
 - $2 < \varepsilon_r < 10$ tan δ autour de 1 10^{-3}
- FR4
 - \Box $\varepsilon_r = 4.4$ tan δ autour de 2 10^{-2}

Circuits intégrés

Silicium

 $\varepsilon_r = 11.9$ tan δ autour de 4 10^{-4}

• Arséniure de gallium

 $\varepsilon_r = 13$ tan δ autour de 6 10^{-4}

11MAG-EPFL

EPFL

Circuits imprimés: avantages

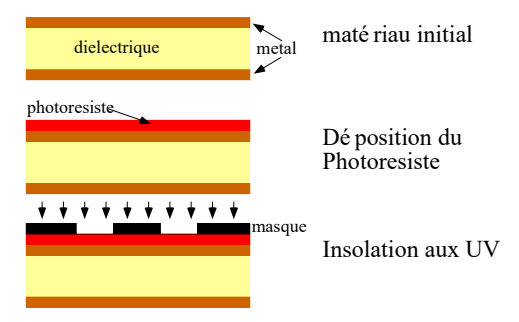
- Bon marché
- Facile à produire
- Bonne répétitivité
- Léger, profil bas
- Compatible avec les circuits intégrés

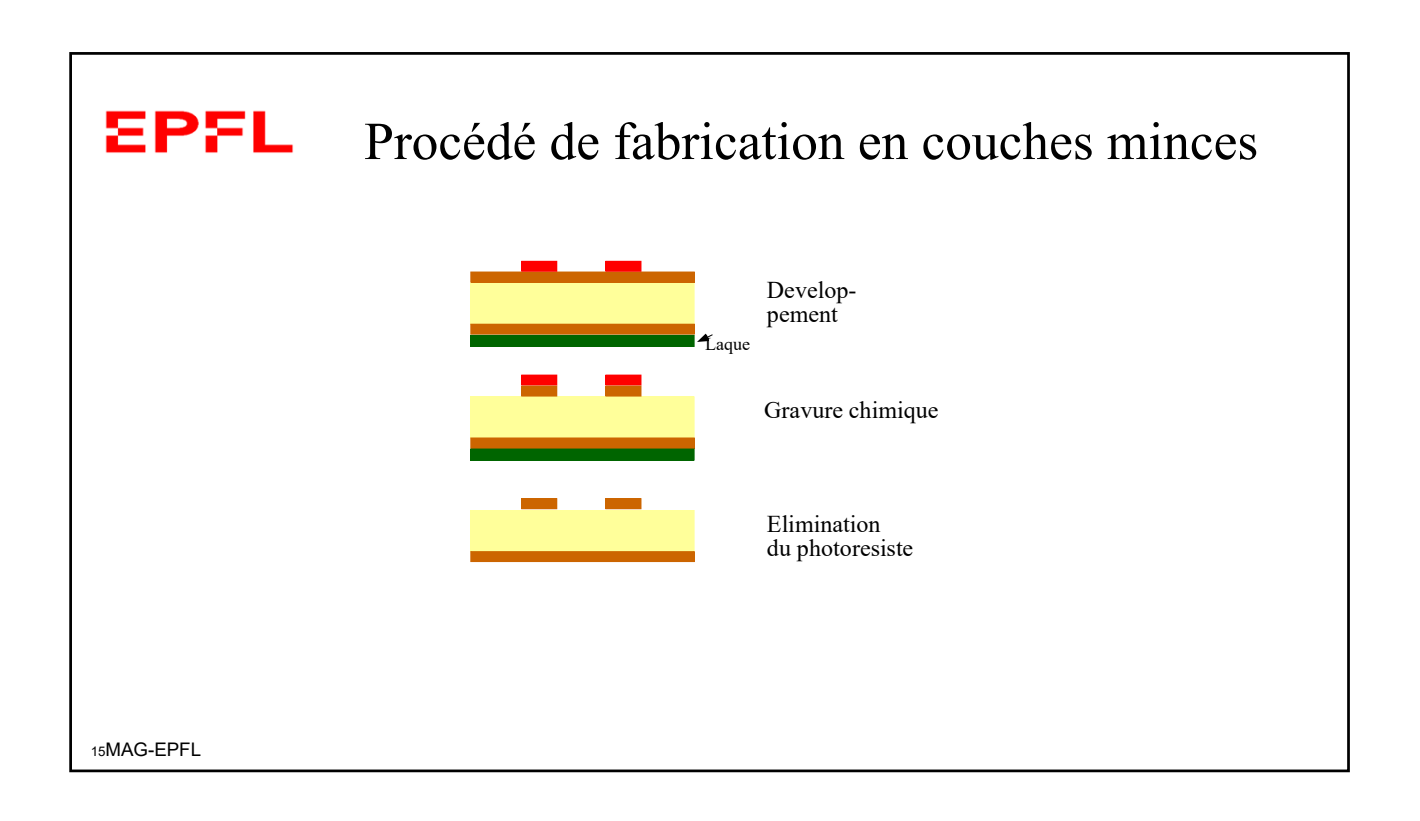
EPFL Circuits imprimés: inconvénients

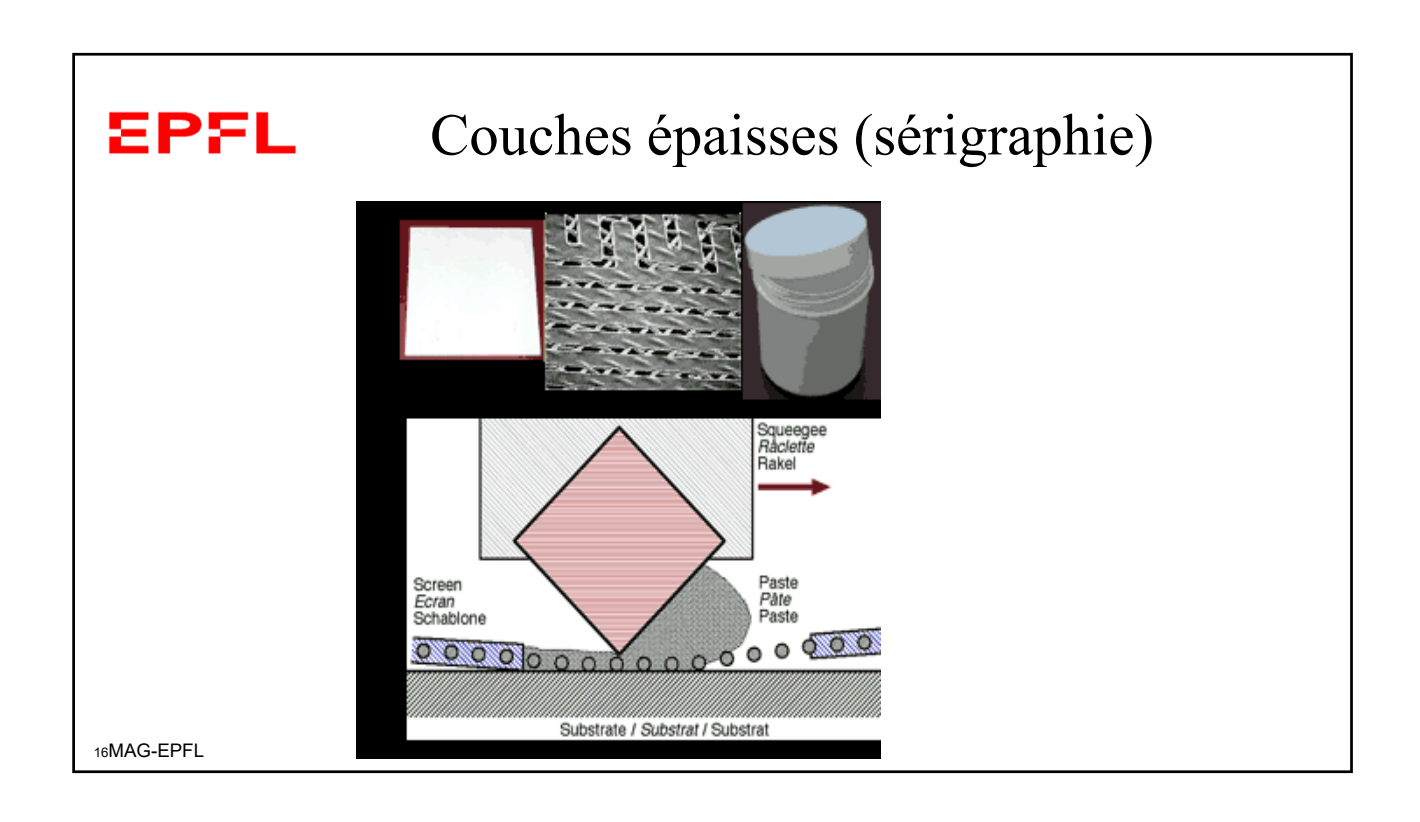
- Pertes relativement élevées
- dispersion
- Structures inhomogènes donc difficile à analyser

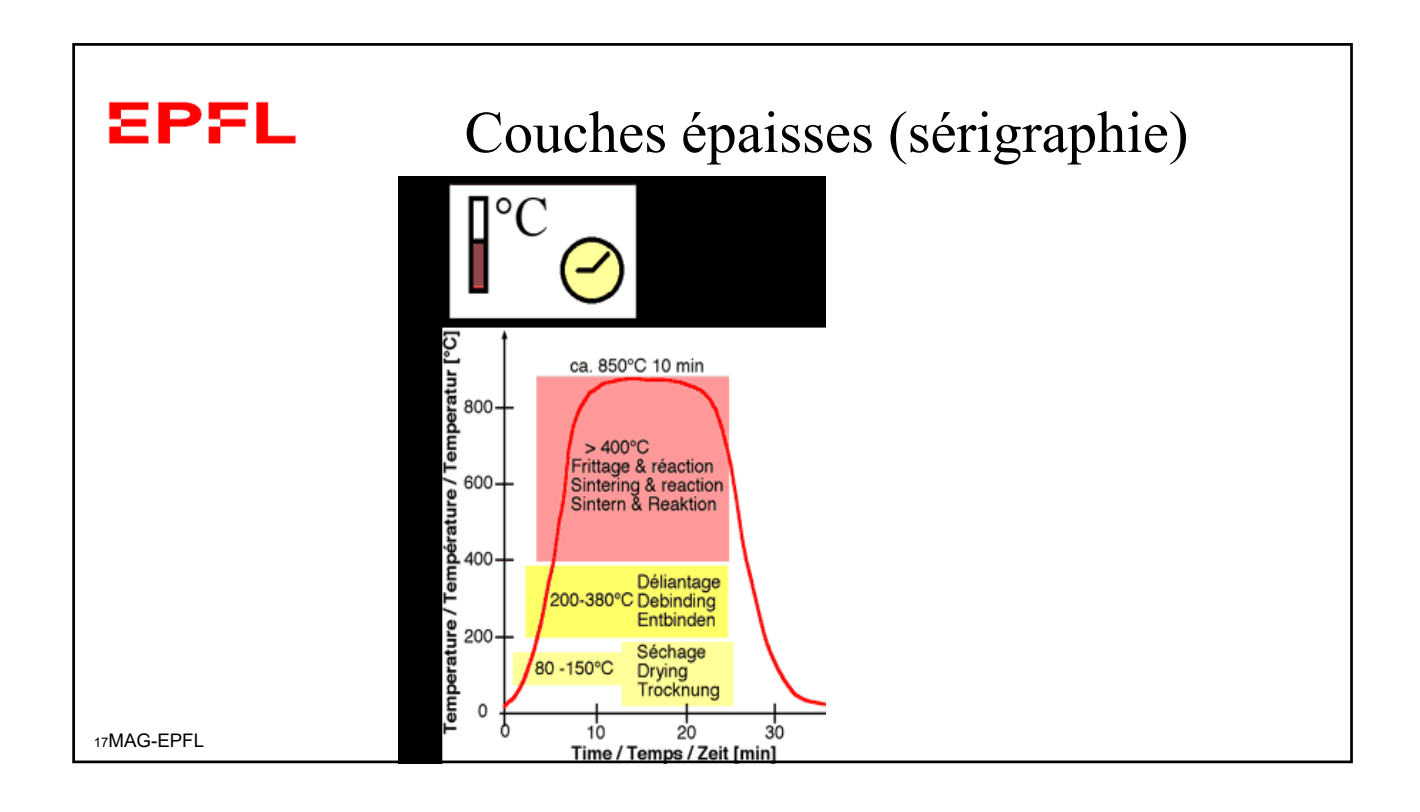
13MAG-EPFL

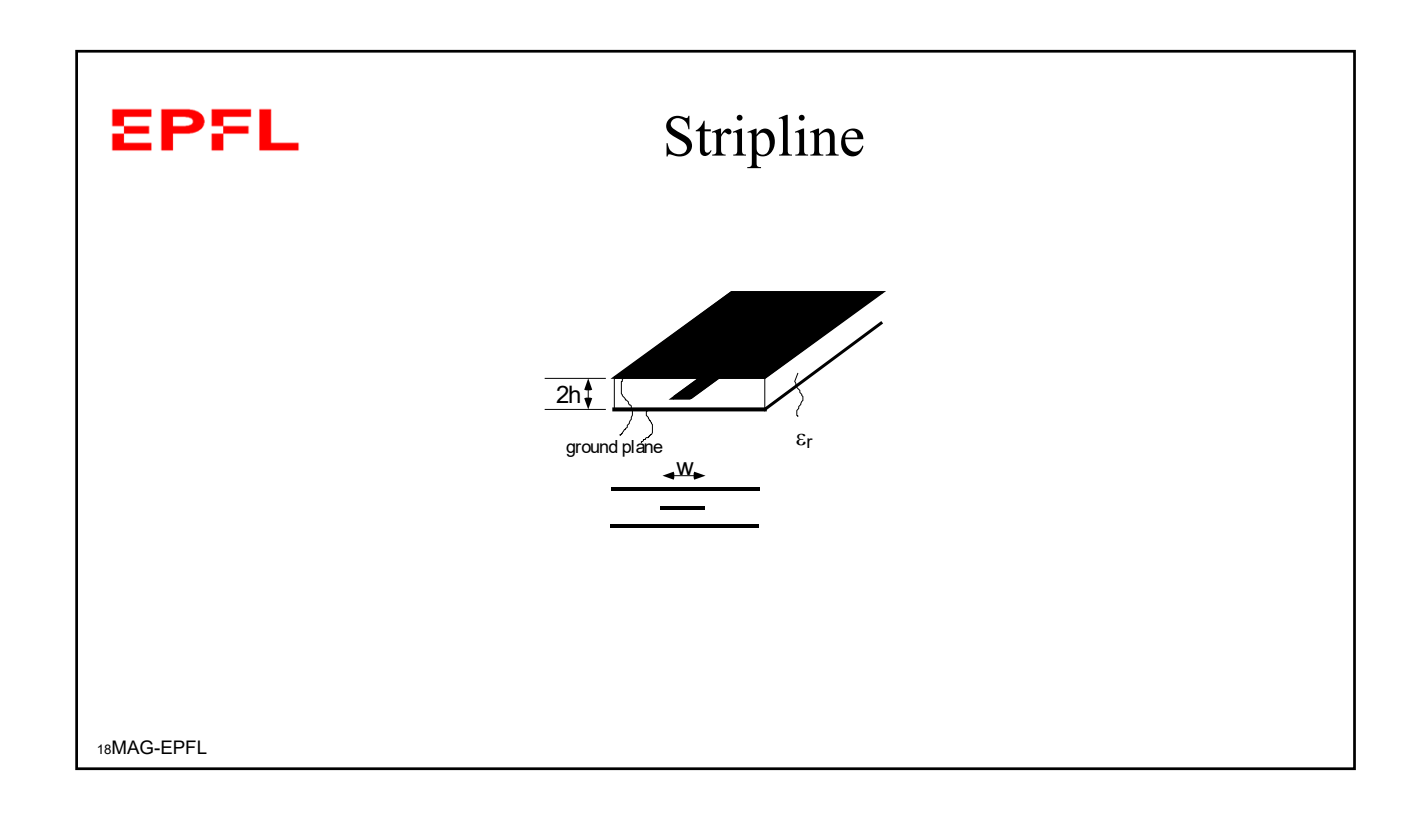
EPFL Procédé de fabrication en couches minces











stripline

- Diélectrique homogène
- Deux conducteurs distincts

Le mode TEM est supporté

19MAG-EPFL

EPFL

stripline : Mode TEM

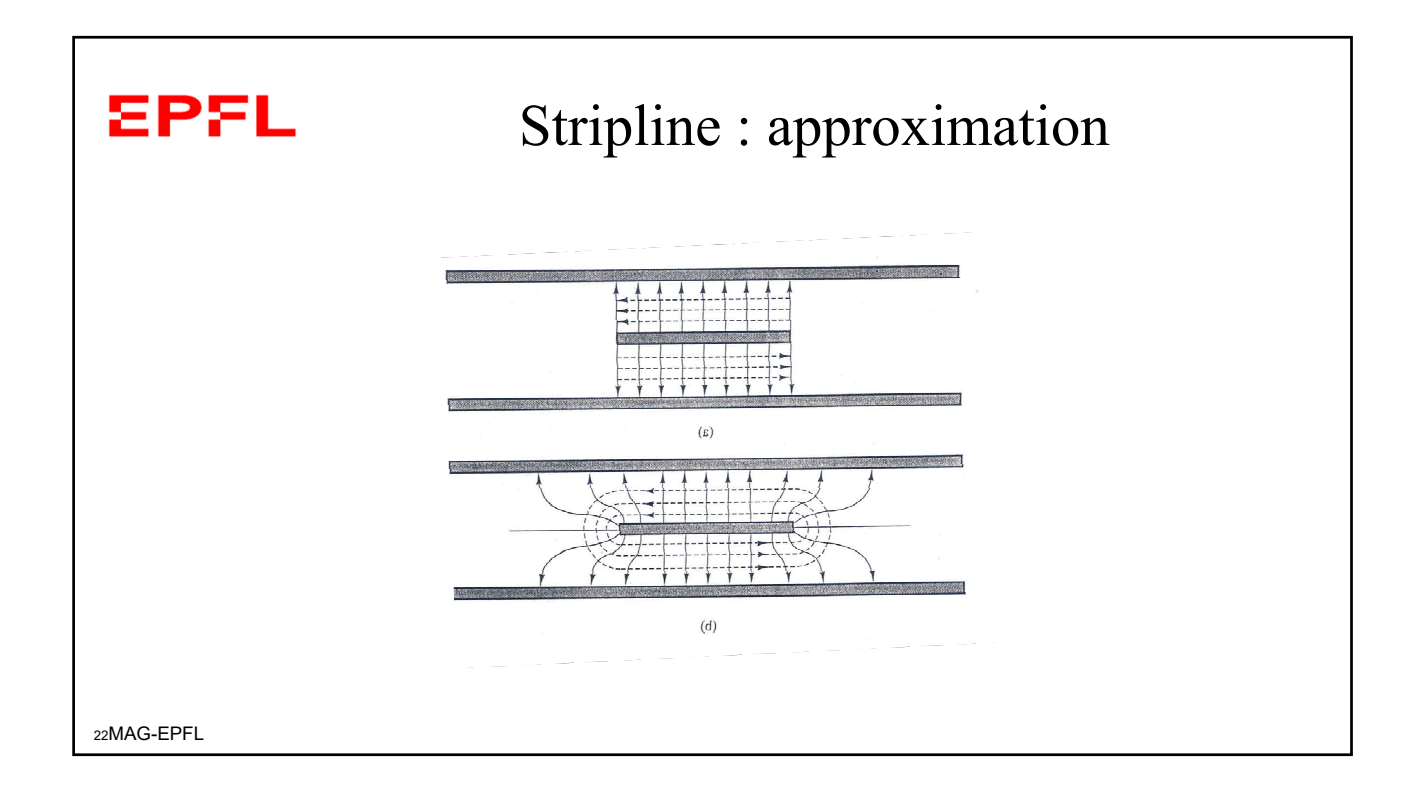
- Nous avons besoin de:
 - L'impédance caractéristique
 - La vitesse de groupe
 - La vitesse de phase
 - La constante de propagation longitudinale
 - La longueur d'onde guidée

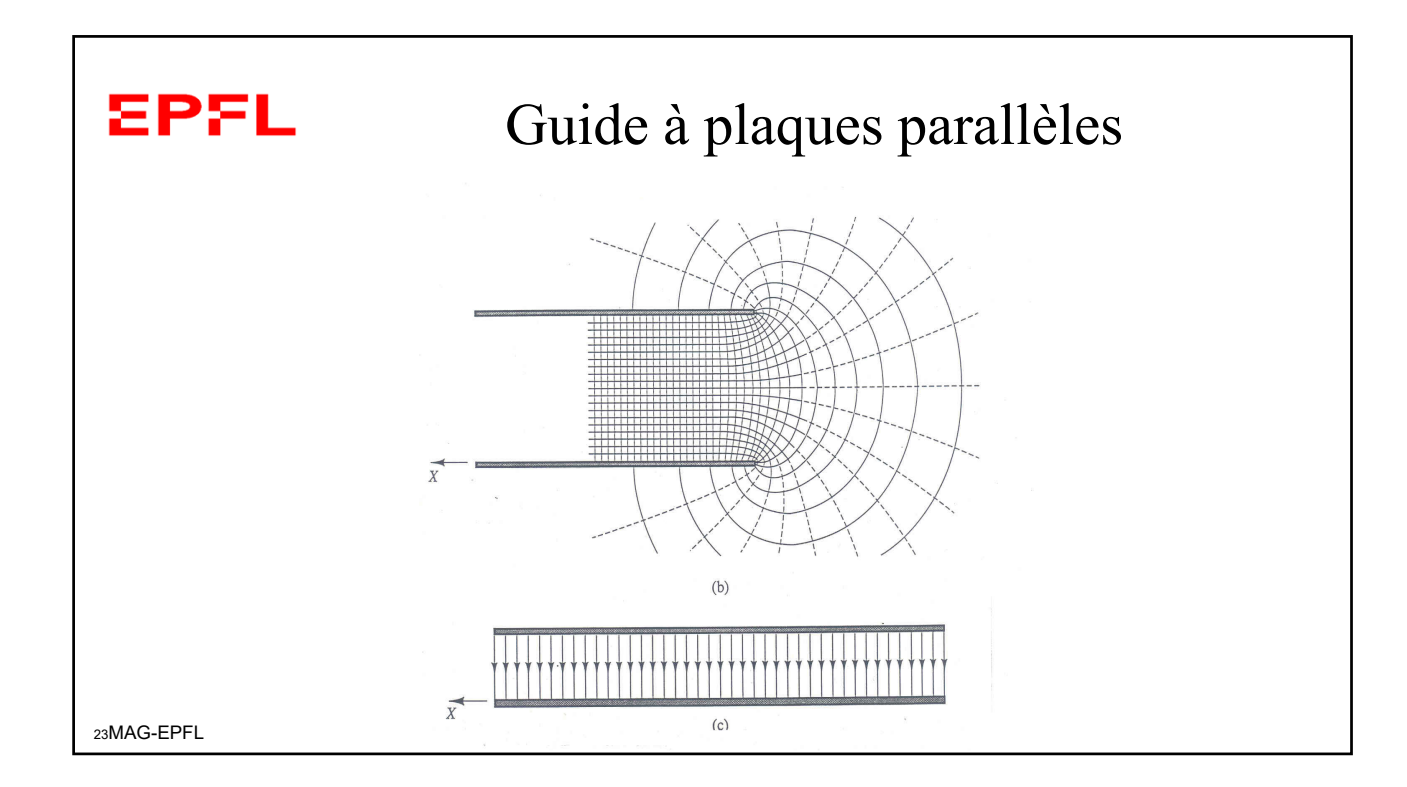


Stripline: approximation



La ligne stripline est équivalente à deux guides à plaques parallèles en parallèle





Guide à plaques parallèles: mode TEM

$$\beta = \omega \sqrt{\varepsilon_r \varepsilon_o \mu_o} = \sqrt{\varepsilon_r} k_o$$

$$v_{\varphi} = \frac{\omega}{\beta} = \frac{1}{\sqrt{\varepsilon_r \varepsilon_o \mu_o}} = \frac{c}{\sqrt{\varepsilon_r}}$$

$$v_g = \left(\frac{\partial \beta}{\partial \omega}\right)^{-1} = \frac{1}{\sqrt{\varepsilon_r \varepsilon_o \mu_o}} = \frac{c}{\sqrt{\varepsilon_r}}$$

$$\lambda = \frac{2\pi v_{\varphi}}{\omega} = \frac{\lambda_o}{\sqrt{\varepsilon_r}}$$

Guide à plaques parallèles: mode TEM

Impédance caractéristique

$$u(z) = -\int_{y=0}^{y=b} \mathbf{E} \cdot \mathbf{dl} = V_o e^{-\gamma z}$$

$$i(z) = \oint_{1conduct} \mathbf{H} \cdot \mathbf{dl} = \frac{\sqrt{\varepsilon_r \varepsilon_o} V_o}{\sqrt{\mu_o}} \frac{w}{b} e^{-\gamma z}$$

$$Z_c = \frac{u}{i} = \frac{b}{w} \frac{\sqrt{\mu_o}}{\sqrt{\varepsilon_r \varepsilon_o}} = \frac{b}{w} \frac{Z_o}{\sqrt{\varepsilon_r}}$$

$$Z_c = \frac{u}{i} = \frac{b}{w} \frac{\sqrt{\mu_o}}{\sqrt{\varepsilon_r \varepsilon_o}} = \frac{b}{w} \frac{Z_o}{\sqrt{\varepsilon_r}}$$

25MAG-EPFL

EPFL

Stripline

Le coefficient de propagation longitudinal, les vitesses de groupe et de phase, la longueur d'onde sont identiques au cas du guide à plaques parallèles

$$\begin{split} \beta &= \omega \sqrt{\varepsilon_r \varepsilon_o \mu_o} = \sqrt{\varepsilon_r} k_o \\ v_\phi &= \frac{\omega}{\beta} = \frac{1}{\sqrt{\varepsilon_r \varepsilon_o \mu_o}} = \frac{c}{\sqrt{\varepsilon_r}} \\ v_g &= \left(\frac{\partial \beta}{\partial \omega}\right)^{-1} = \frac{1}{\sqrt{\varepsilon_r \varepsilon_o \mu_o}} = \frac{c}{\sqrt{\varepsilon_r}} \\ \lambda &= \frac{2\pi v_\phi}{\omega} = \frac{\lambda_o}{\sqrt{\varepsilon_r}} \end{split}$$



Stripline

L'impédance caractéristique correspond en première approximation à l'impédance de guides à plaques parallèles en parallèle.

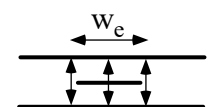
$$Z_c = \left(\frac{1}{Z_c^{paral.}} + \frac{1}{Z_c^{paral.}}\right)^{-1} = \frac{h}{2w} \frac{Z_o}{\sqrt{\varepsilon_r}}$$

27MAG-EPFL



Stripline : approximation de second ordre (analyse)

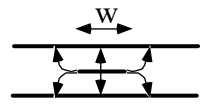
$$Z_{c} = \frac{30\pi}{\sqrt{\varepsilon_{r}}} \frac{2h}{w_{e} + 0.441(2h)} \qquad \frac{w_{e}}{2h} = \frac{w}{2h} - \begin{cases} 0 & pour & \frac{w}{2h} > 0.35 \\ \left(0.35 - \frac{w}{2h}\right)^{2} & pour & \frac{w}{2h} < 0.35 \end{cases}$$

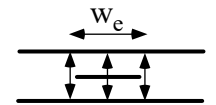


Stripline : approximation de second ordre (synthèse)

$$\frac{w}{2h} = \begin{cases} x & pour \quad \sqrt{\varepsilon_r} Z_c < 120 \\ 0.85 - \sqrt{0.6 - x} & pour \quad \sqrt{\varepsilon_r} Z_c > 120 \end{cases}$$

$$x = \frac{30\pi}{\sqrt{\varepsilon_r} Z_c} - 0.441$$





29MAG-EPFL

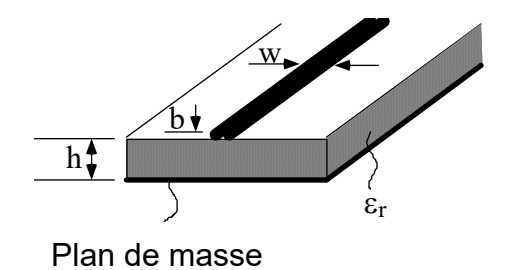
EPFL

Stripline: attenuation

$$\begin{split} \alpha &= \alpha_d + \alpha_c \quad \left[Np/m \right] \\ \alpha_d &= \frac{k \tan \delta}{2} \quad \left[Np/m \right] \\ \alpha_c &= \begin{cases} \frac{0.0027 R_s \varepsilon_r Z_c}{30\pi (2h-t)} A & pour \quad \sqrt{\varepsilon_r} Z_c < 120 \\ \frac{0.16 R_s}{Z_c 2h} B & pour \quad \sqrt{\varepsilon_r} Z_c > 120 \end{cases} \\ A &= 1 + \frac{2w}{2h-t} + \frac{2h+t}{\pi (2h-t)} \ln \left(\frac{4h-t}{t} \right) \qquad R_s = \sqrt{\frac{\omega \mu}{2\sigma}} \\ B &= 1 + \frac{2h}{(0.5w+0.7t)} \left(0.5 + \frac{0.414t}{w} + \frac{1}{2\pi} \ln \frac{4\pi w}{t} \right) \end{split}$$



Ligne microruban (ou microstrip)



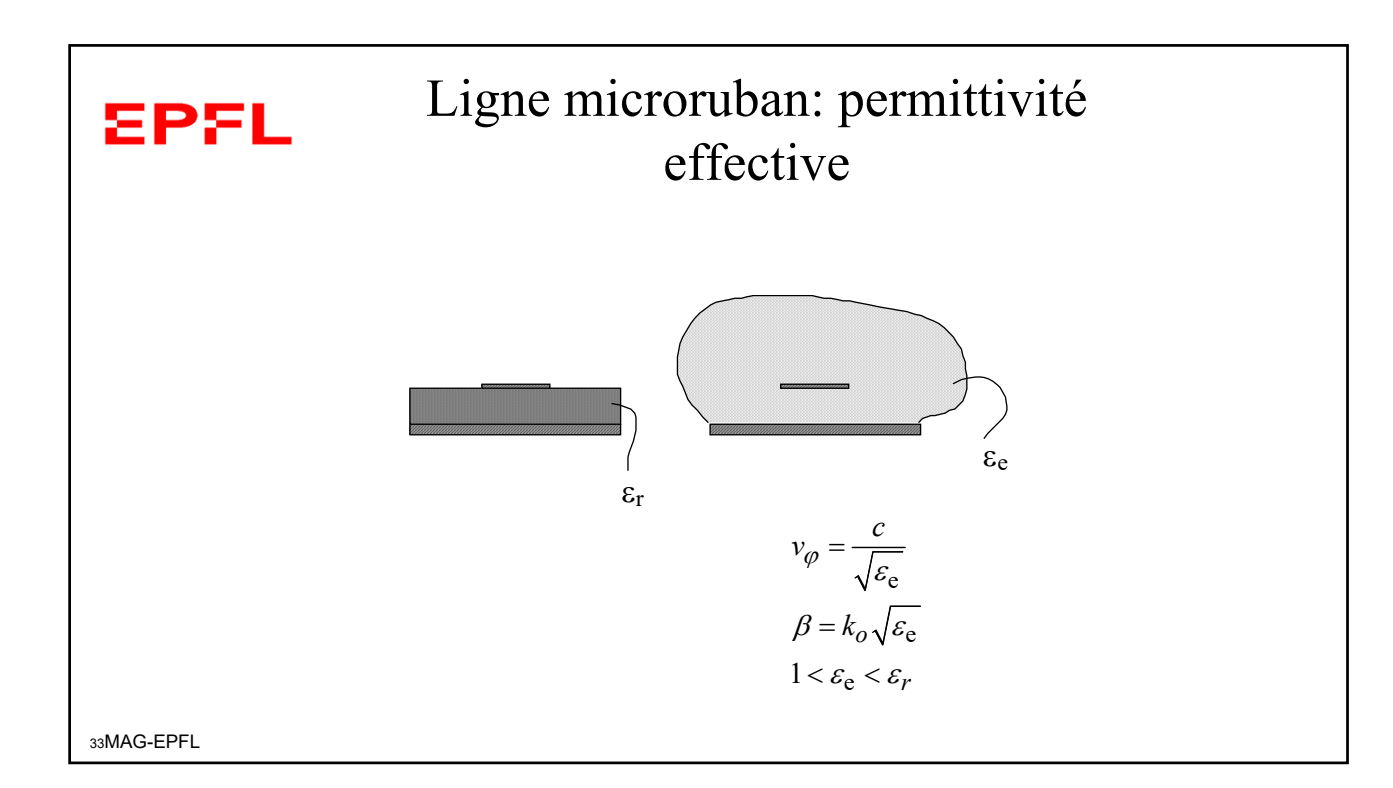
31MAG-EPFL



Ligne ruban

• Ligne inhomogène, mais avec deux conducteurs (piste et plan de masse)

Mode quasi TEM



Ligne microruban: permittivité effective

$$\varepsilon_{e} = \frac{1}{2} (\varepsilon_{r} + 1) + \frac{1}{2} (\varepsilon_{r} - 1) \left[\left(1 + 12 \frac{h}{w} \right)^{-0.5} + 0.04 \left(1 - \frac{w}{h} \right)^{2} \right] pour \frac{w}{h} \le 1$$

$$\varepsilon_{e} = \frac{1}{2} (\varepsilon_{r} + 1) + \frac{1}{2} (\varepsilon_{r} - 1) \left(1 + 12 \frac{h}{w} \right)^{-0.5} pour \frac{w}{h} \ge 1$$



Ligne microruban: permittivité effective

Erreur : moins de 1 % pour $0.05 \le w/h \le 20$ et $\varepsilon_r \le 16$

35MAG-EPFL



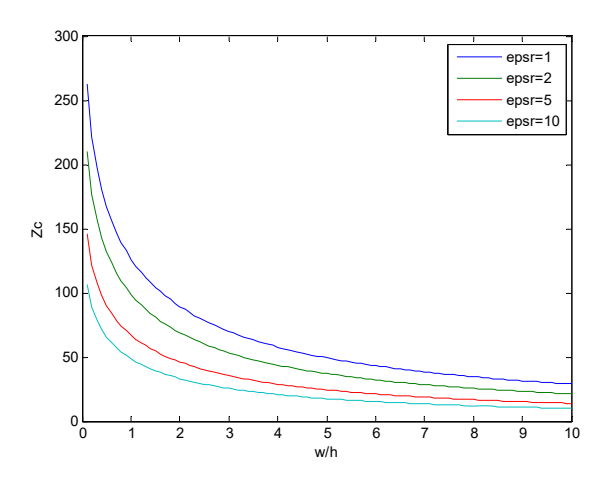
Ligne microruban: impédance caractéristique (analyse)

$$\begin{split} Z_c &= \frac{Z_o}{2\pi\sqrt{\varepsilon_e}} \ln\!\left(\frac{8h}{w} + \frac{w}{4h}\right) \quad pour \quad \frac{w}{h} \leq 1 \\ Z_c &= \frac{Z_o}{\sqrt{\varepsilon_e}} \!\left(\frac{w}{h} + 1.393 + 0.667 \ln\!\left(\frac{w}{h} + 1.444\right)\right)^{-1} \quad pour \quad \frac{w}{h} > 1 \end{split}$$

où $Z_o = 120\pi$ est l'impédance caractéristique de vide



Ligne microruban: impédance caractéristique (analyse)



37MAG-EPFL

EPFL

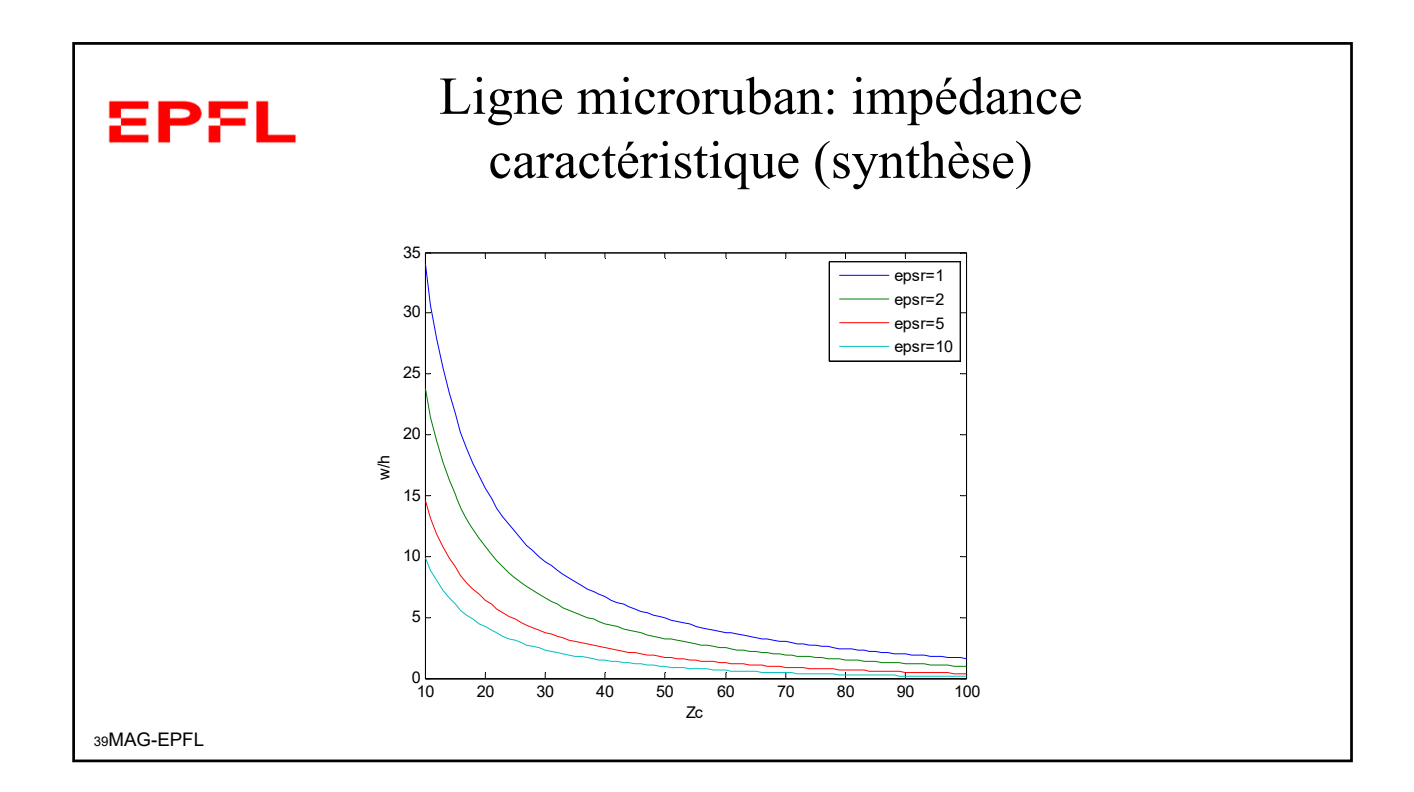
Ligne microruban: impédance caractéristique (synthèse)

$$\frac{w}{h} = 4 \left[\frac{1}{2} e^A - e^{-A} \right]^{-1} \quad pour \quad \frac{w}{h} \le 2$$

$$\frac{w}{h} = \frac{\varepsilon_r - 1}{\pi \varepsilon_r} \left(\ln\left(B - 1\right) + 0.39 - \frac{0.61}{\varepsilon_r} \right) + \frac{2}{\pi} \left(B - 1 - \ln\left(2B - 1\right)\right) \quad pour \quad \frac{w}{h} \ge 2$$

with

$$A = \frac{Z_c}{Z_o} \pi \sqrt{2(\varepsilon_r + 1)} + \frac{\varepsilon_r - 1}{\varepsilon_r + 1} \left(0.23 + \frac{0.11}{\varepsilon_r} \right)$$
$$B = \frac{\pi}{2\sqrt{\varepsilon_r}} \frac{Z_o}{Z_c}$$



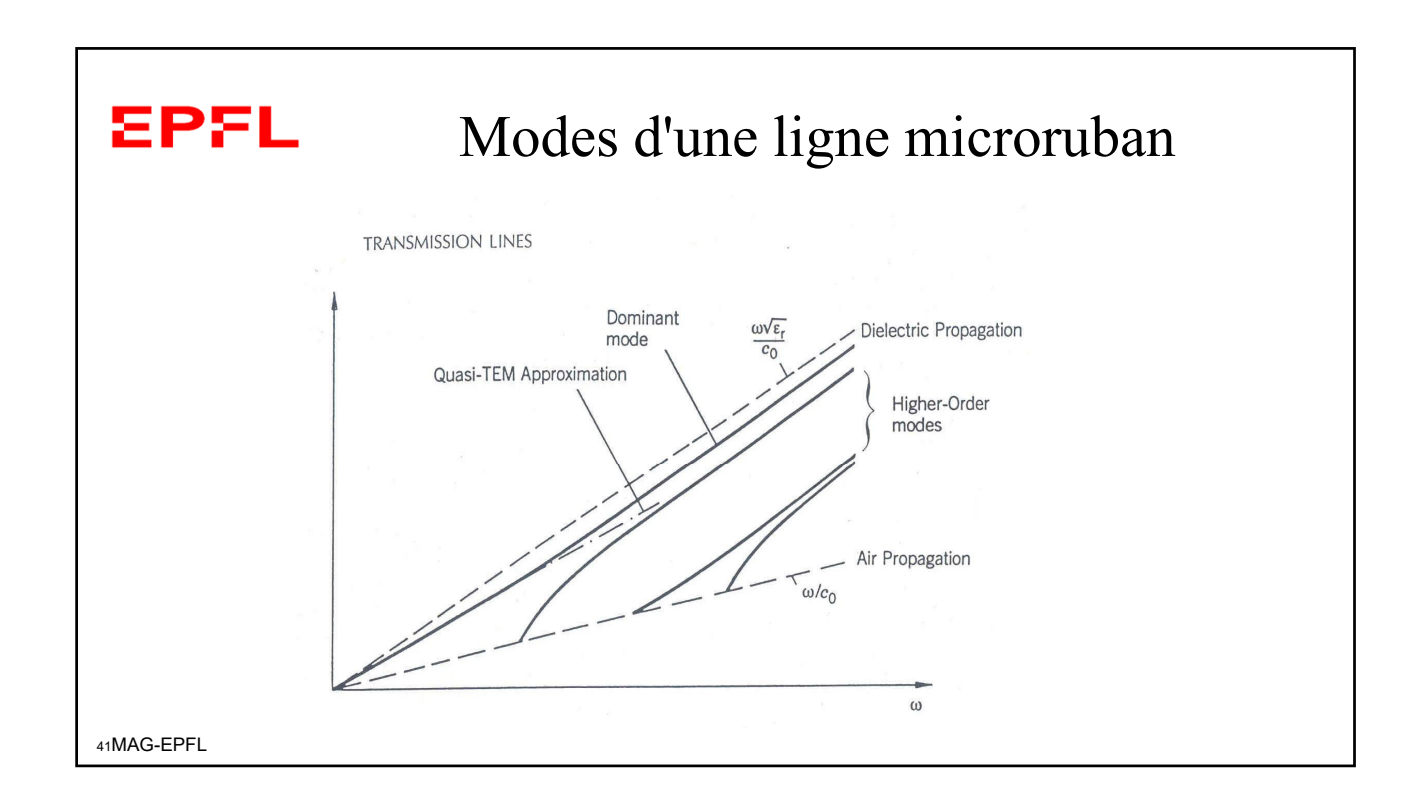
Attenuation d'une ligne microruban

$$\alpha = \alpha_d + \alpha_c \quad [Np/m]$$

$$\alpha_d = \frac{k_o \varepsilon_r (\varepsilon_e - 1) \tan \delta}{2\sqrt{\varepsilon_e} (\varepsilon_r - 1)} \quad [Np/m]$$

$$\alpha_c = \frac{R_s}{wZ_c} \quad [Np/m]$$

$$R_s = \sqrt{\frac{\omega\mu}{2\sigma}}$$

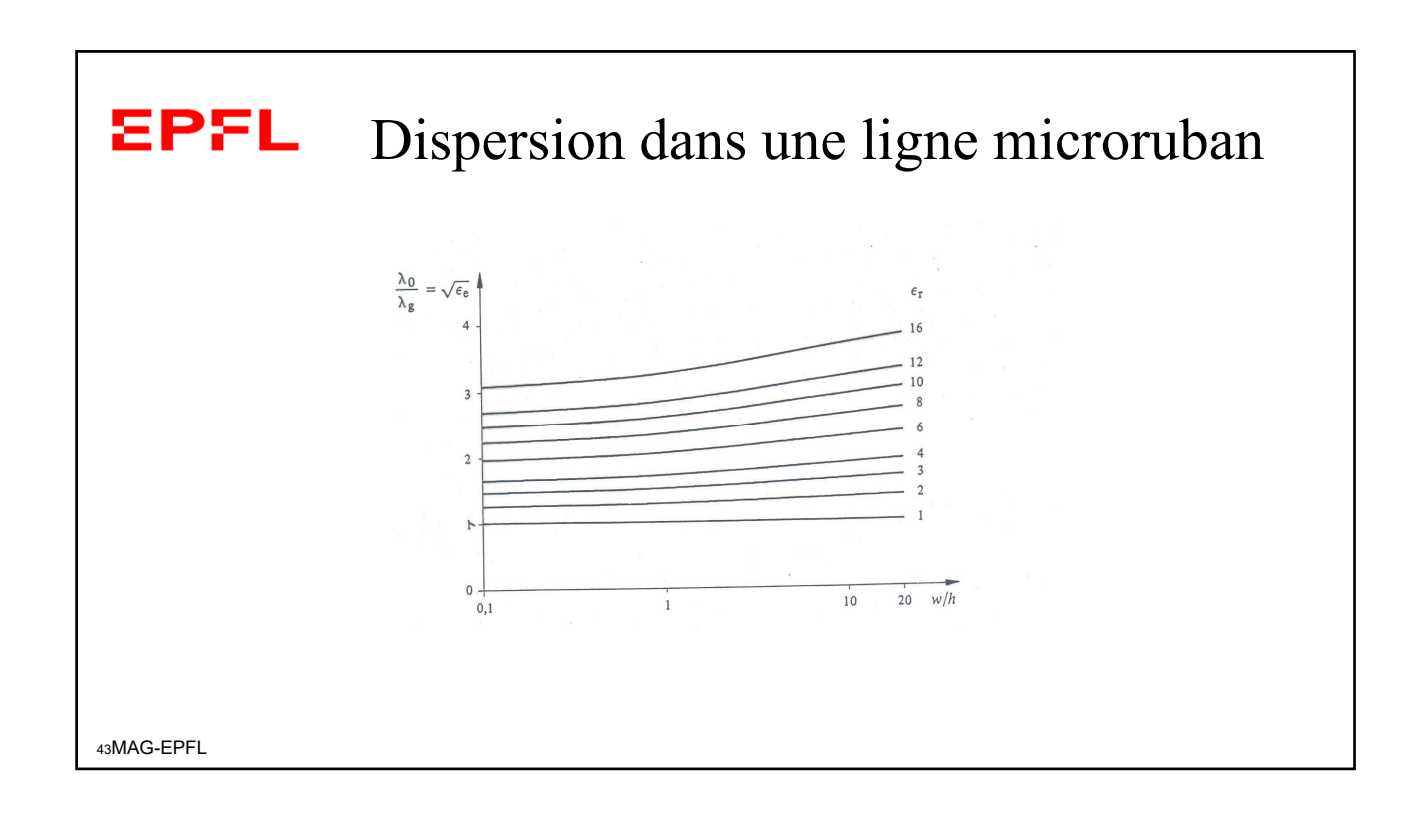


Dispersion dans une ligne microruban

$$\varepsilon_{\text{ed}}(f) = \varepsilon_r - \frac{\varepsilon_r - \varepsilon_e}{1 + \left(\frac{f}{f_p}\right)^2 G}$$

$$f_p = \frac{Z_c}{2h\mu_o}$$

$$f_p = \frac{Z_C}{2h\mu_o}$$
$$G = 0.6 + 0.009Z_C$$

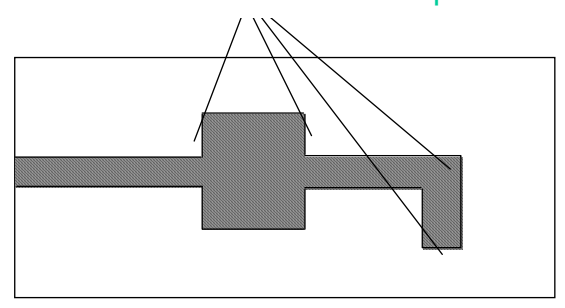




Rayonnement d'une ligne microruban

Un mode TEM ne rayonne pas=> le rayonnement survient quand des modes d'ordre supérieurs sont excités par une discontinuité

Excitation locale de modes supérieurs

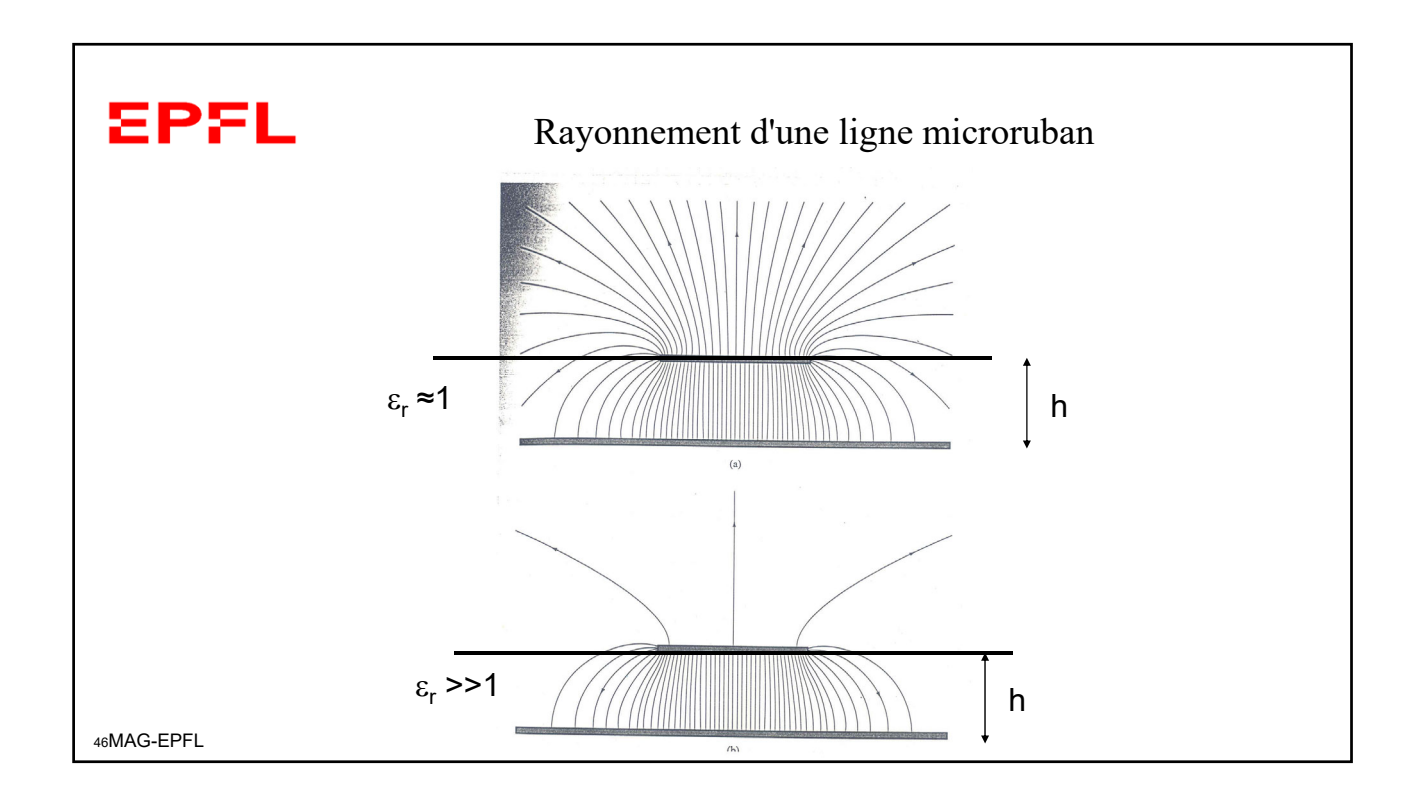




Rayonnement d'une ligne microruban

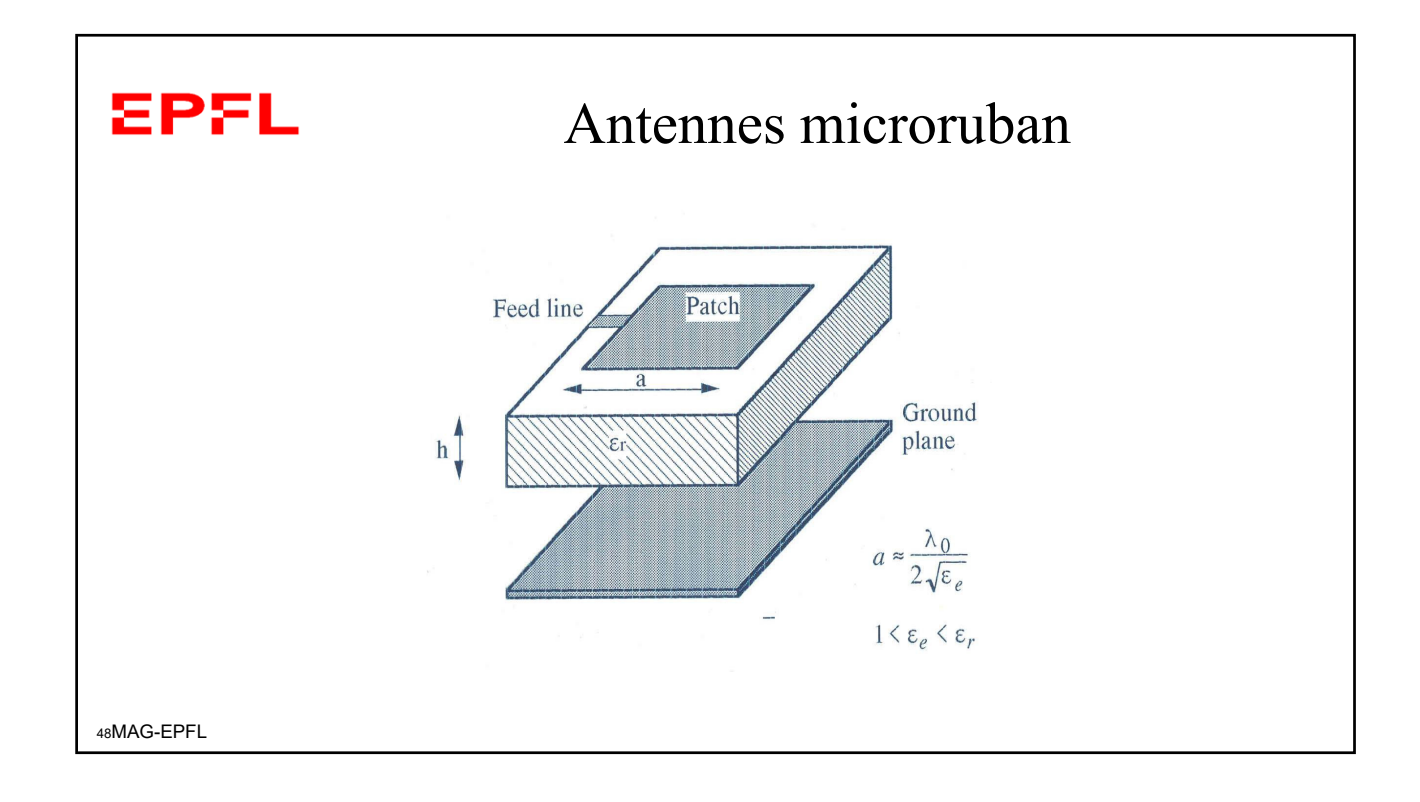
Pour une ligne 50 Ω , la fréquence f_m pour laquelle le rayonnement demeure inférieur à 1 % de la puissance totale est donnée par:

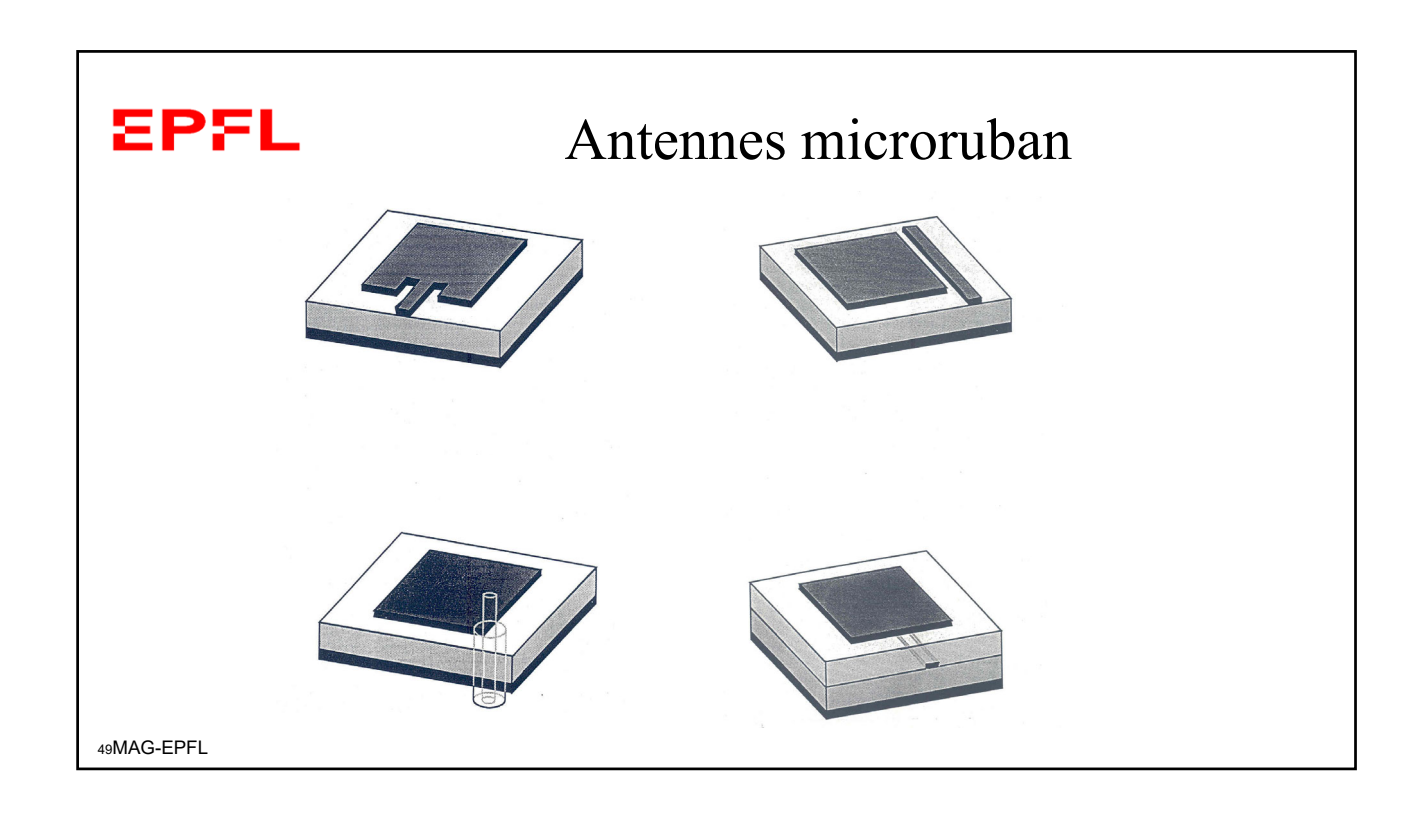
$$f_m [GHz] = \frac{2.14 \sqrt[4]{\varepsilon_r}}{h[mm]}$$

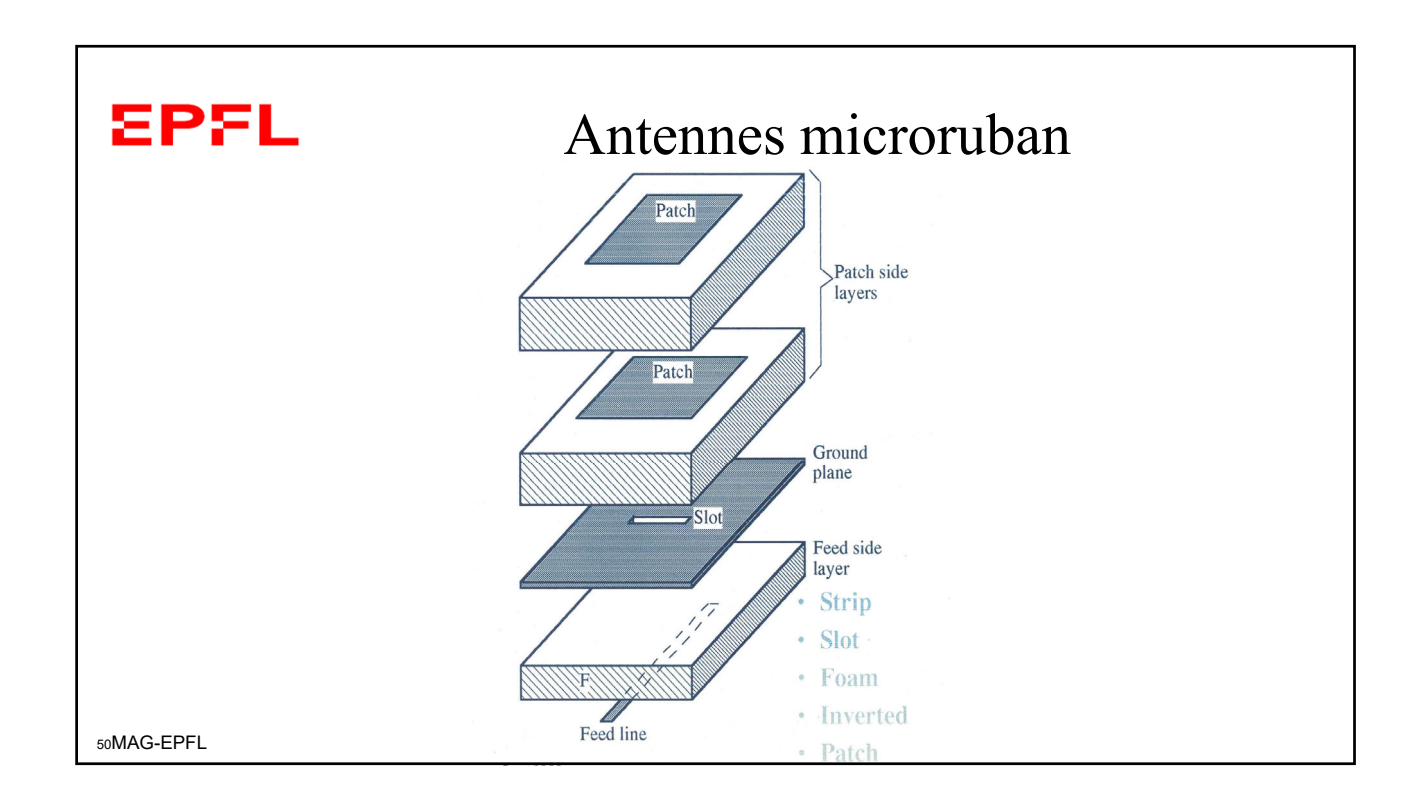


EPFL Rayonnement d'une ligne microruban

	h/λ_o	$\epsilon_{\rm r}$
Ondes guidées	↓	1
Ondes rayonnées	↑	↓









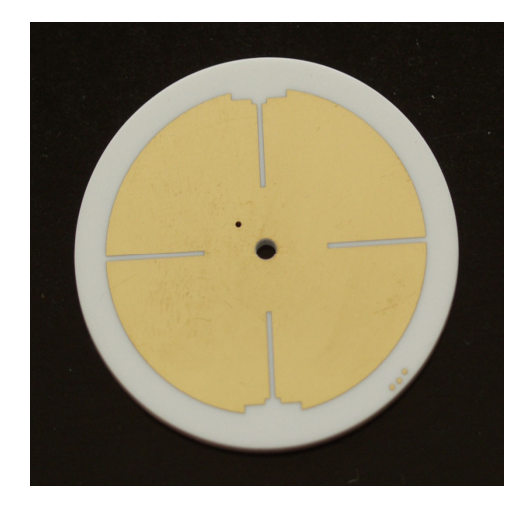
Antennes microruban



51MAG-EPFL



Antennes microruban



록.	D	┖	
			L

	Câble coaxial	Guide d'onde	stripline	microruban
Mode dom.	TEM	TE_{10}	TEM	Quasi TEM
autres	TE, TM	TE, TM	TE, TM	Hybrid
Dispersion	aucune	moyenne	aucune	faible
Bande pass-	élevée	basse	élevée	élevée
Pertes	moyen.	basse	élevée	élevée
P max	moyen.	élevée	basse	basse
Dim.	grandes	grandes	moyen.	petites
Fabrication	moyen.	difficile	facile	facile
Composants	difficile	difficile	moyen.	facile